

## 4 机器人运动控制算法研究

本章采用 LQR 算法设计了轮式运动控制器，采用 VMC 算法设计了腿部运动控制器。设计过程均是先根据第二章推导出的动力学方程建立控制模型，再使用 Simulink 搭建控制方框图进行仿真计算，根据仿真结果调整控制参数，最后分析本系统在该参数下的控制效果。对于因腿部运动导致重心高度发生变化的非线性情况，则是采用区间插值的方法，将重心高度分为三个区间，不同区间采用不同的 LQR 反馈参数，同一区间使用相同的参数，保障机器人在各个高度下均能实现良好的控制效果。

### 4.1 机器人轮式运动控制

#### 4.1.1 基于状态空间的控制模型

将式 (2.19) 和式 (2.22) 化简为以下形式：

$$\begin{cases} a\ddot{x} = (T_R + T_L) - b\ddot{\theta} \\ c\ddot{\theta} = d\theta - e\ddot{x} - (T_R + T_L) \\ \ddot{\delta} = f(T_L - T_R) \end{cases} \quad (4.1)$$

其中：

$$\begin{cases} a = r(M + 2m + \frac{2I}{r^2}) \\ b = Mr l \\ c = J_z + M l^2 \\ d = M g l \\ e = M l \\ f = \frac{1}{r(mD + \frac{ID}{r^2} + \frac{2J_y}{D})} \end{cases} \quad (4.2)$$

状态空间的表达形式为：

$$\dot{Z} = AZ + B\mu \quad (4.3)$$

选取状态变量：

$$Z = [x \ \dot{x} \ \theta \ \dot{\theta} \ \delta \ \dot{\delta}]^T \quad (4.4)$$

将式 (4.1) 转化为以下形式的方程组：

$$\begin{cases} \ddot{x} = \frac{-bd}{ac-be}\ddot{\theta} + \frac{c+b}{ac-be}(T_R + T_L) \\ \ddot{\theta} = \frac{ad}{ac-be}\ddot{x} - \frac{e+a}{ac-be}(T_R + T_L) \\ \ddot{\delta} = f(T_L - T_R) \end{cases} \quad (4.5)$$

将式 (4.5) 用状态空间表示：

$$\begin{bmatrix} \dot{x} \\ \ddot{x} \\ \dot{\theta} \\ \ddot{\theta} \\ \dot{\delta} \\ \ddot{\delta} \end{bmatrix} = \begin{bmatrix} 0 & 1 & 0 & 0 & 0 & 0 \\ 0 & 0 & A_{23} & 0 & 0 & 0 \\ 0 & 0 & 0 & 1 & 0 & 0 \\ 0 & 0 & A_{43} & 0 & 0 & 0 \\ 0 & 0 & 0 & 0 & 0 & 1 \\ 0 & 0 & 0 & 0 & 0 & 0 \end{bmatrix} \begin{bmatrix} x \\ \dot{x} \\ \theta \\ \dot{\theta} \\ \delta \\ \dot{\delta} \end{bmatrix} + \begin{bmatrix} 0 & 0 \\ B_{21} & B_{22} \\ 0 & 0 \\ B_{41} & B_{42} \\ 0 & 0 \\ B_{61} & B_{62} \end{bmatrix} \begin{bmatrix} T_L \\ T_R \end{bmatrix} \quad (4.6)$$

其中：

$$\begin{cases} A_{23} = \frac{-bd}{ac-be} \\ A_{43} = \frac{ad}{ac-be} \\ B_{21} = B_{22} = \frac{c+b}{ac-be} \\ B_{41} = B_{42} = -\frac{e+a}{ac-be} \\ B_{61} = f, B_{62} = -f \end{cases} \quad (4.7)$$

基于 SolidWorks 模型，当关节电机角度为  $150^\circ$  时测量得到各物理量参数如表 4-1 所示：

表 4-1 各物理量的测量参数

参数符号	参数值	参数单位
$m$	1.5	kg
$M$	6	kg
$r$	0.074	m
$I$	$2788.825 \times 10^{-6}$	$\text{kg} \cdot \text{m}^2$
$l$	0.1	m
$J_z$	$153013.57 \times 10^{-6}$	$\text{kg} \cdot \text{m}^2$
$g$	9.8	$\text{m/s}^2$
$J_y$	$182050.38 \times 10^{-6}$	$\text{kg} \cdot \text{m}^2$
$D$	0.523	m

将表 4-1 中的数据代入式(4.6)中，在 Matlab 中计算得到(代码见 two\_wheel\_model.m)：

$$A = \begin{bmatrix} 0 & 1 & 0 & 0 & 0 & 0 \\ 0 & 0 & -1.9886 & 0 & 0 & 0 \\ 0 & 0 & 0 & 1 & 0 & 0 \\ 0 & 0 & 33.2053 & 0 & 0 & 0 \\ 0 & 0 & 0 & 0 & 0 & 1 \\ 0 & 0 & 0 & 0 & 0 & 0 \end{bmatrix}, B = \begin{bmatrix} 0 & 0 \\ 1.9608 & 1.9608 \\ 0 & 0 \\ -10.2174 & -10.2174 \\ 0 & 0 \\ 7.7351 & -7.7351 \end{bmatrix} \quad (4.8)$$

对本系统的可控性进行判断，已知  $A \in R^{6 \times 6}$ ， $B \in R^{6 \times 2}$ ，构造 Co 矩阵：

$$Co = [B \ AB \ \dots \ A^{n-1}B], Co \in R^{6 \times 12} \quad (4.9)$$

若 Co 矩阵为满秩矩阵，则系统可控。经计算  $\text{Rank}(Co) = 6$ ，由此可得本系统是可控的。

对系统的稳定性进行分析，计算得到 A 矩阵的特征值为：

$$\lambda = [0 \ 0 \ 5.7624 \ -5.7624 \ 0 \ 0]^T \quad (4.10)$$

因为特征值中存在正数，所以本系统不稳定，需要设计控制器使系统稳定。

#### 4.1.2 LQR 控制器设计及 Simulink 仿真

设定一个反馈矩阵  $K$ :

$$K = \begin{bmatrix} k_{11} & k_{12} & k_{13} & k_{14} & k_{15} & k_{16} \\ k_{21} & k_{22} & k_{23} & k_{24} & k_{25} & k_{26} \end{bmatrix} \quad (4.11)$$

令  $\mu = -KZ$ , 则  $\dot{Z} = AZ - BKZ = (A - BK)Z$ , 将  $A - BK$  命名为  $A_{cl}$  矩阵。通过改变反馈矩阵  $K$  的各项参数, 使  $A_{cl}$  矩阵的特征值全部非正, 从而使系统稳定。

关于如何配置极点使系统性能最优, 对此 LQR 控制器引入了代价函数:

$$J = \int_0^{\infty} (Z^T Q Z + \mu^T R \mu) dt \quad (4.12)$$

目的是通过调节状态反馈控制器  $\mu = -KZ$ , 使代价函数取得最小值  $J_{min}$ 。Q 和 R 即是需要设计的半正定矩阵和正定矩阵, Q 矩阵表示对于状态变量  $Z$  的惩罚, R 矩阵表示对于输入量  $\mu$  的惩罚。Q 矩阵的某一分量值越大, 则该分量对应的状态变量以更快的速度衰减至 0, R 矩阵的分量则是限制对应输入量  $\mu$  的大小。

反馈矩阵  $K$  的计算公式如下:

$$K = R^{-1} B^T P \quad (4.13)$$

其中 P 矩阵由 Riccati 方程解得:

$$A^T P + P A + Q - P B R^{-1} B^T P = 0 \quad (4.14)$$

本课题所设计的 Q 矩阵和 R 矩阵如下:

$$Q = \begin{bmatrix} 1 & 0 & 0 & 0 & 0 & 0 \\ 0 & 10000 & 0 & 0 & 0 & 0 \\ 0 & 0 & 80000 & 0 & 0 & 0 \\ 0 & 0 & 0 & 1 & 0 & 0 \\ 0 & 0 & 0 & 0 & 10000 & 0 \\ 0 & 0 & 0 & 0 & 0 & 0 \end{bmatrix}, R = \begin{bmatrix} 1000 & 0 \\ 0 & 1000 \end{bmatrix} \quad (4.15)$$

计算得到的反馈矩阵  $K$  为:

$$K = \begin{bmatrix} -0.0224 & -2.2554 & -10.1436 & -1.5177 & 2.2361 & 0.5377 \\ -0.0224 & -2.2554 & -10.1436 & -1.5177 & -2.2361 & -0.5377 \end{bmatrix} \quad (4.16)$$

在 Simulink 中搭建轮式运动的仿真控制模型 (见 two\_wheel\_model\_control.slx), 如图 4-1 所示:

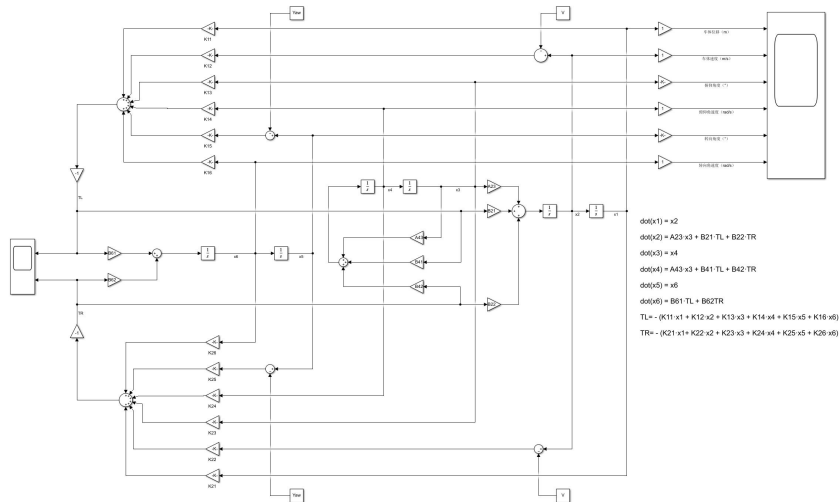


图 4-1 轮式运动的 Simulink 仿真控制模型

将式 (4.16) 的反馈矩阵参数代入仿真模型中，设定初始俯仰角为  $20^\circ$ ，模拟机器人从远离平衡点的起始位置回到平衡点的过程，各状态变量的仿真结果如图 4-2 所示，各输入量的仿真结果如图 4-3 所示：

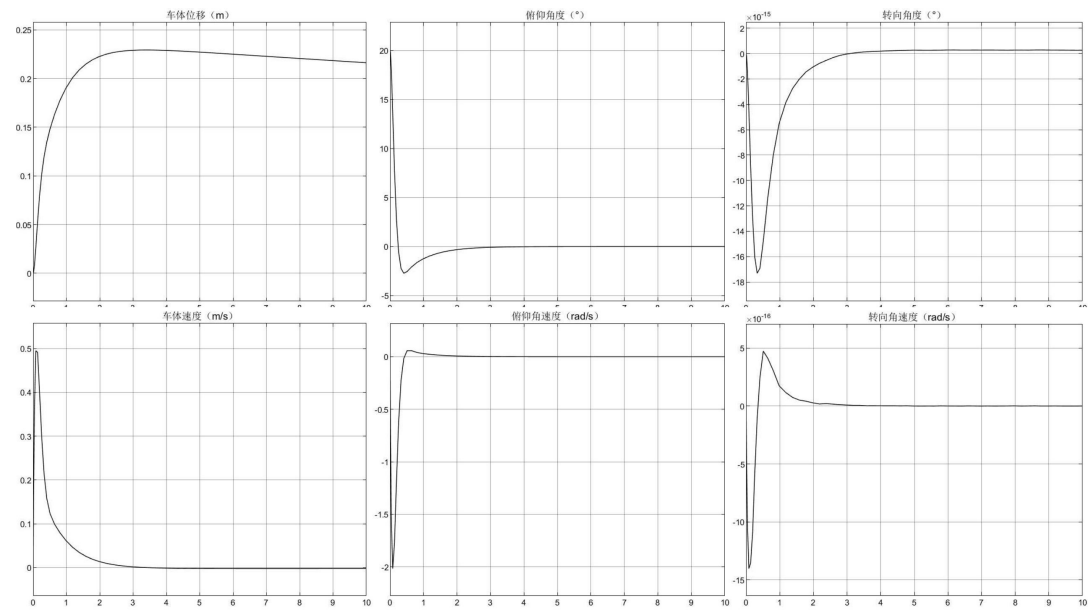


图 4-2 初始俯仰角  $20^\circ$  时各状态变量的仿真结果

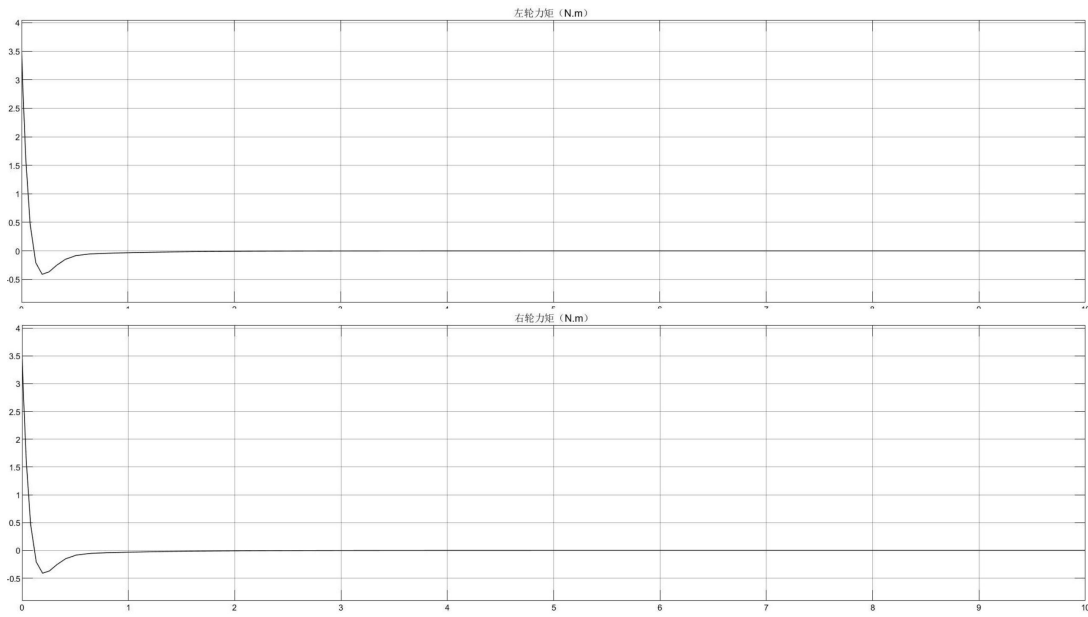


图 4-3 初始俯仰角  $20^\circ$  时各输入量的仿真结果

从图中可以看出，机器人在 1 秒左右回到平衡点并保持平衡状态，此过程中的车体位移在 0.2m 左右，同时对转向运动的影响非常小。左右驱动轮所需的回复力矩不超过  $3.5\text{N}\cdot\text{m}$ ，在所选电机的峰值扭矩范围内，满足实际要求。

设定目标速度为 1.5m/s，模拟机器人的速度跟踪过程，各状态变量的仿真结果如图 4-4 所示，各输入量的仿真结果如图 4-5 所示：

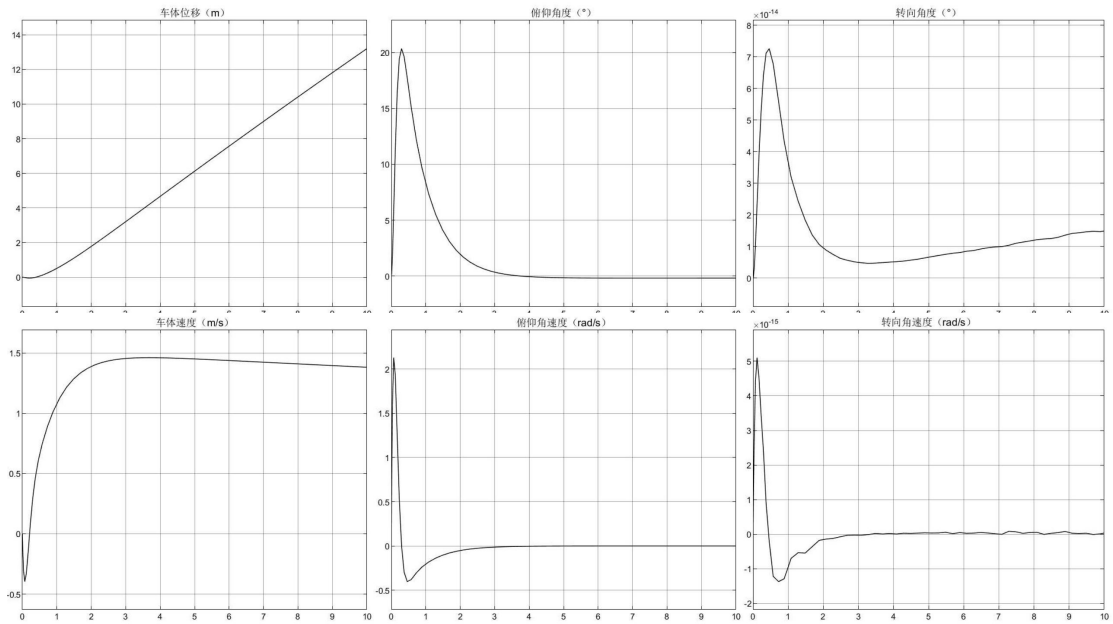


图 4-4 目标速度 1.5m/s 时各状态变量的仿真结果

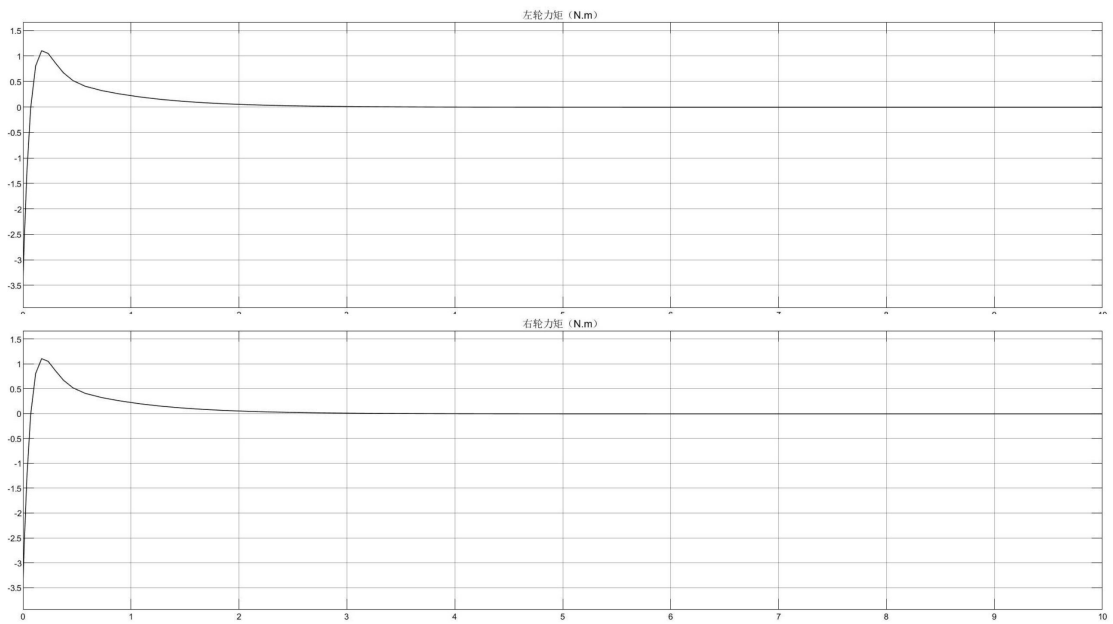


图 4-5 目标速度 1.5m/s 时各输入量的仿真结果

从图中可以看出，机器人在 2 秒左右达到 1.5m/s 的目标速度，此过程中机器人的最大俯仰角为  $20^\circ$ ，在俯仰角的最大限制范围内，同时对转向运动的影响非常小。左右驱动轮的最大力矩为  $3\text{N}\cdot\text{m}$ ，在所选电机的峰值扭矩范围内，满足实际要求。

设定目标转向角度为  $30^\circ$ ，模拟机器人的转向跟踪过程，各状态变量的仿真结果如图 4-6 所示，各输入量的仿真结果如图 4-7 所示：

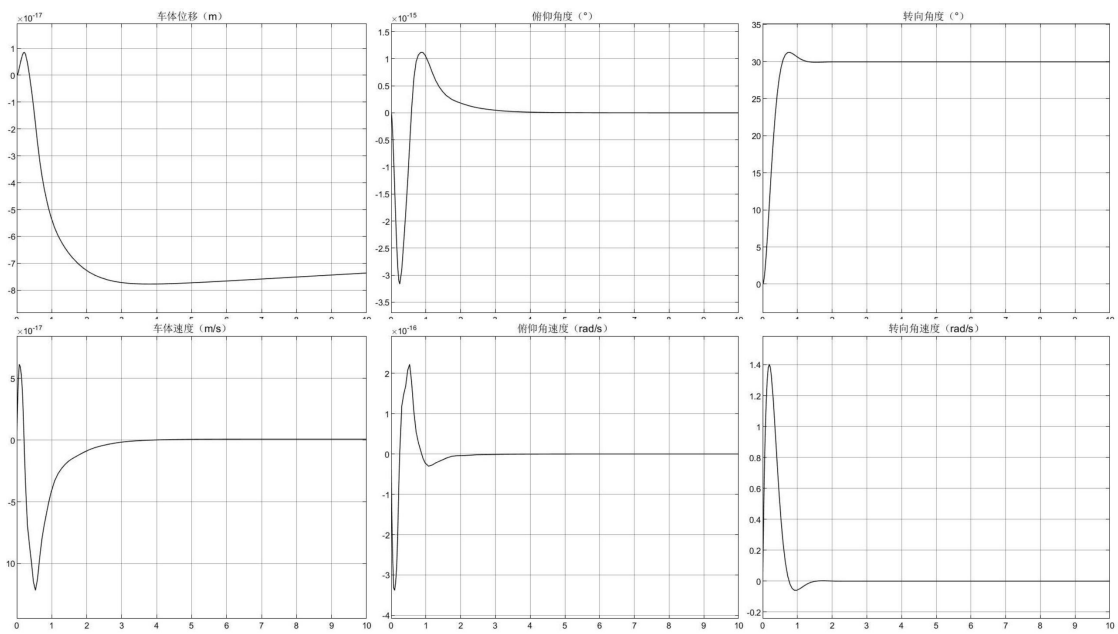


图 4-6 目标转向角度  $30^\circ$  时各状态变量的仿真结果

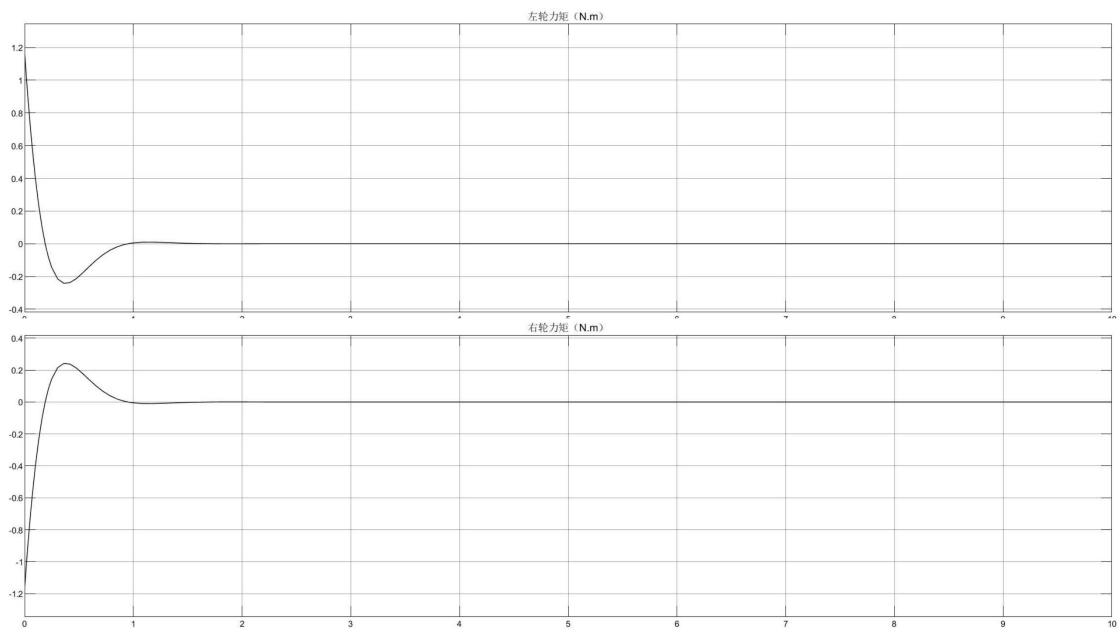


图 4-7 目标转向角度  $30^\circ$  时各输入量的仿真结果

从图中可以看出，机器人在 1 秒左右到达目标转向角度，此过程对于机器人的速度和俯仰角度等状态变量的影响非常小。左右驱动轮的最大力矩为  $1.2\text{N}\cdot\text{m}$ ，在所选电机的峰值扭矩范围内，满足实际要求。